



รายงานวิจัยฉบับสมบูรณ์

การพัฒนาวัสดุเหลือทิ้งทางการเกษตร (แกลบ) สำหรับการกำจัด
สี雍雍ผ้าในอุตสาหกรรมครัวเรือน

ประชาติ วัชรบัณฑิต

โครงการวิจัยนี้ได้รับทุนสนับสนุนจาก
มหาวิทยาลัยราชภัฏเทพสตรี
ปีงบประมาณ 2561

กิตติกรรมประกาศ

ผู้วิจัยขอขอบคุณสถาบันวิจัยและพัฒนา มหาวิทยาลัยราชภัฏเทพสตรี ที่สนับสนุนและให้ทุนวิจัยจากงบประมาณแผ่นดิน พ.ศ. 2561

ขอขอบคุณสาขาวิชาเคมี (ค.บ.) มหาวิทยาลัยราชภัฏเทพสตรีที่ให้ความอนุเคราะห์ในการใช้เครื่องมือและอุปกรณ์ในการวิจัย

ขอขอบคุณเจ้าหน้าที่ห้องปฏิบัติการเคมีที่ให้ความช่วยเหลือในการใช้เครื่องมือและอุปกรณ์ในการวิจัย

ประชาติ วัชรบัณฑิต

ผู้วิจัย

บทคัดย่อภาษาไทย

น้ำเสียจากการย้อมผ้าส่างผลกระทบที่ร้ายแรงต่อสิ่งแวดล้อม จึงมีความสนใจที่จะต้องใช้วัสดุ เหลือทิ้งราคากลางๆ สำหรับการดูดซึบสีย้อม งานวิจัยนี้มีวัตถุประสงค์ในการศึกษาการดูดซึบสีย้อมผ้าใน อุตสาหกรรมครัวเรือนด้วยแกลบในระบบบก (batch) ศึกษาปัจจัยที่มีผลต่อการดูดซึบได้แก่ เวลาที่ เข้าสู่สมดุล ความเข้มข้นสารละลายและอุณหภูมิ รวมทั้งศึกษาคุณสมบัติของตัวดูดซึบได้แก่ หมุ พังก์ชันด้วย FTIR พื้นที่ผิว และพื้นผิวด้วย SEM สมดุลการดูดซึบวิเคราะห์โดยใช้สมการแลงเมียร์ ฟรุนเดลิช และดูบินน-ราดัชเควิช ผลการทดลองพบว่าข้อมูลการทดลองสอดคล้องกับสมการแลงเมียร์ โดยมีค่าความสามารถในการดูดซึบสูงสุดเท่ากับ 14.9 15.6 และ 16.9 มิลลิกรัมต่อกิโลกรัม ที่อุณหภูมิ 20 30 และ 40°C ตามลำดับ ส่วนจลนพลศาสตร์การดูดซึบสอดคล้องกับปฏิกริยาอันดับสองทุก อุณหภูมิ และอุณหพลศาสตร์การดูดซึบพบว่าการทดลองสามารถเกิดขึ้นได้เองและเป็นการดูดซึบ แบบดูดความร้อน

คำสำคัญ: การดูดซึบ, สีย้อม, แกลบ

Abstract

As the direct discharge of dying wastewater into the environment has harmful effects, there is a growing interest in using low-cost and waste materials to adsorb dyes. The main objective of this study was to investigate the adsorption of a commercial synthetic dye in household-scale dyeing onto rice husk using batch process. The effects of adsorption such as contact time, initial dye concentration and temperature were evaluated. The rice husk was characterized by Fourier transform infrared spectrophotometer (FTIR), BET surface area and scanning electron microscopy (SEM). The equilibrium adsorption data were analyzed by Langmuir, Freundlich, Temkin and Dubinin–Radushkevich isotherm models. It was found that the Langmuir isotherm provided a good model and the maximum monolayer adsorption capacity values were 14.9, 15.6 and 16.9 mg/g at 20, 30 and 40°C, respectively. The kinetic experimental data were fitted well by pseudo-second order model at all temperatures. The thermodynamic investigation indicated that the adsorption of dye was spontaneous and endothermic.

Key words : adsorption isotherm, dyestuff, rice husk

สารบัญ

	หน้า
กิตติกรรมประกาศ	ก.
บทคัดย่อภาษาไทย	ข.
บทคัดย่อภาษาอังกฤษ	ค.
สารบัญ	ง.
สารบัญตาราง	ห.
สารบัญรูป	จ.
บทที่ 1	ก
1.1 ความสำคัญและที่มา	1
1.2 วัตถุประสงค์ของการวิจัย	1
1.3 ขอบเขตของการวิจัย	1
1.4 กรอบแนวคิดของโครงการวิจัย	2
1.5 นิยามศัพท์	2
บทที่ 2 เอกสารและงานวิจัยที่เกี่ยวข้อง	4
2.1 น้ำทึ้งจากอุดสาหกรรมฟอกย้อม	4
2.2 แกลบ	5
2.3 ประโยชน์ของแกลบ	6
2.4 การดูดซับ	6
2.5 จนผลศาสตร์การดูดซับ	7
2.5 อุณหพลศาสตร์การดูดซับ	7
2.6 การกำจัดสีย้อมด้วยกระบวนการดูดซับ	8
บทที่ 3 วิธีดำเนินการวิจัย	11
3.1 การเตรียมสารละลายสีย้อม	11
3.2 ศึกษาประสิทธิภาพการดูดซับ	11
บทที่ 4 ผลการวิจัยและอภิปรายผลการทดลอง	13
4.1 ศึกษาคุณลักษณะทางกายภาพและเคมีของตัวดูดซับ	13
4.2 ผลของเวลาที่เข้าสู่สมดุลที่อุณหภูมิต่าง ๆ	15
4.3 ผลของความเข้มข้นของสารละลายที่อุณหภูมิต่าง ๆ	16
4.4 ไอโซเทอร์มการดูดซับ	16
4.5 จนผลศาสตร์การดูดซับสีย้อม	20
4.6 อุณหพลศาสตร์การดูดซับ	24

บทที่ 5 สรุปผลการวิจัยและข้อเสนอแนะ	26
5.1 สรุปผลการวิจัย	26
5.2 ข้อเสนอแนะ	26
เอกสารอ้างอิง	27
ภาคผนวก	28
ภาคผนวก ก.	28

สารบัญตาราง

ตารางที่	หน้า
1.1 องค์ประกอบพื้นฐานของแกลบ	5
1.2 องค์ประกอบทางกายภาพและเคมีของแกลบ	5
4.1 ผลการคำนวณจากไอโซเทอร์มการดูดซับสีย้อมด้วยแกลบที่อุณหภูมิ 20 องศาเซลเซียส	17
4.2 ผลการคำนวณจากไอโซเทอร์มการดูดซับสีย้อมด้วยแกลบที่อุณหภูมิ 20 องศาเซลเซียส	18
4.3 ผลการคำนวณจากไอโซเทอร์มการดูดซับสีย้อมด้วยแกลบที่อุณหภูมิ 20 องศาเซลเซียส	19
4.4 พารามิเตอร์ของไอโซเทอร์มการดูดซับสีย้อมด้วยแกลบที่อุณหภูมิต่าง ๆ	20
4.5 จนพลศาสตร์และการแพร่ภายนอกการดูดซับสีย้อมด้วยแกลบ	24
4.6 พารามิเตอร์อุณหพลศาสตร์การดูดซับสีย้อมผ้าด้วยแกลบ	25
ก.1 ผลของเวลาในการดูดซับสีย้อมผ้าด้วยแกลบ	29
ก.2 ผลของความเข้มข้นของสีย้อมผ้าในการดูดซับด้วยแกลบ	29

สารบัญรูป

รูปที่	หน้า
4.1 พื้นผิวของแกลบที่กำลังขยาย 2000X	14
4.2 หมู่พังก์ชันของแกลบก่อนและหลังดูดซับสีเย้อม	14
4.3 ผลของเวลาในการดูดซับสีเย้อมด้วยแกลบ	15
4.4 ผลของความเข้มข้นของสารละลายสีเย้อม	16
4.5 ไอโซเทอร์มการดูดซับแลงเมียร์ด้วยแกลบที่อุณหภูมิ 20 องศาเซลเซียส	17
4.6 ไอโซเทอร์มการดูดซับฟรุนเดลิชด้วยแกลบที่อุณหภูมิ 20 องศาเซลเซียส	17
4.7 ไอโซเทอร์มการดูดซับแลงเมียร์ด้วยแกลบที่อุณหภูมิ 30 องศาเซลเซียส	18
4.8 ไอโซเทอร์มการดูดซับฟรุนเดลิชด้วยแกลบที่อุณหภูมิ 30 องศาเซลเซียส	18
4.9 ไอโซเทอร์มการดูดซับแลงเมียร์ด้วยแกลบที่อุณหภูมิ 40 องศาเซลเซียส	19
4.10 ไอโซเทอร์มการดูดซับฟรุนเดลิชด้วยแกลบที่อุณหภูมิ 40 องศาเซลเซียส	19
4.11 จนผลศาสตร์การดูดซับสีเย้อมแบบ pseudo first และ second order ด้วยแกลบที่อุณหภูมิ 20 องศาเซลเซียส	21
4.12 จนผลศาสตร์การดูดซับสีเย้อมแบบ pseudo first และ second order ด้วยแกลบที่อุณหภูมิ 30 องศาเซลเซียส	22
4.13 จนผลศาสตร์การดูดซับสีเย้อมแบบ pseudo first และ second order ด้วยแกลบที่อุณหภูมิ 40 องศาเซลเซียส	23
4.14 อุณหผลศาสตร์การดูดซับสีเย้อมด้วยแกลบ	25

บทที่ 1

บทนำ

1.1 ความสำคัญและที่มา

จังหวัดลพบุรี เป็นพื้นที่ที่ประชาชนส่วนมากประกอบอาชีพเกษตรกรรม โดยเฉพาะชาวบ้านที่วัดบ้านทราย ตำบลบ้านทราย อำเภอบ้านหมี่ จังหวัดลพบุรี เมื่อเร็วสิ้นถูกุกากำหนดแล้ว ชาวบ้านจะทำการหารายได้เสริม ได้แก่การหอผ้า โดยเฉพาะผ้าหอบ้านหมี่และในปัจจุบันได้พัฒนาผ้าหอเป็นสินค้าที่มีชื่อเสียงโดยเฉพาะสินค้าโภคภัณฑ์ ทำให้มีผู้สนใจสินค้ามาก ทำให้มีการย้อมผ้าเป็นจำนวนมาก และสีย้อมที่ใช้ย้อมผ้านั้นมีทั้งที่เป็นสีธรรมชาติและสีสังเคราะห์ ซึ่งหลังจากทำการย้อมแล้วก็ทิ้งน้ำย้อมลงบนพื้นดินหรือลงในบ่อน้ำโดยไม่ได้มีการกำจัดที่ถูกต้องทำให้น้ำสีย้อมไหลซึมลงในแหล่งน้ำธรรมชาติและน้ำบาดาลทำให้น้ำที่ใช้ปนเปื้อนและส่งผลกระทบต่อสุขภาพของคนในชุมชน (สมาคมวิศวกรรมสิ่งแวดล้อมแห่งประเทศไทย, 2544) ที่สำคัญสิ่งมีค่าในชุมชนที่เป็นสารเชิงช้อนอะโรมาติก มีความคงตัวสูงยากต่อการย่อยสลายและยังสามารถบังทางเดินแสง ส่งผลให้การสังเคราะห์ด้วยแสงของพืชลดลง (Aksu, 2005) สุดสาหะล และคณะ (2011) ลักษณะ Levine (1991) กล่าวว่า่น้ำทึบจากการย้อมผ้านั้นจะมีความเข้มข้นของสีอยู่ระหว่าง 10–20 มิลลิกรัมต่อลิตร ทำให้สีของน้ำเสียค่อนข้างเข้มและมีความเป็นพิษค่อนข้างสูง จากเหตุผลดังกล่าวทำให้เกิดมลพิษทางสิ่งแวดล้อมต่อทั้งมนุษย์และระบบ生นิเวศน์ และที่สำคัญรากไม้ไม้ไผ่ได้มีการรณรงค์ที่ให้มีการใช้ทรัพยากรน้ำให้ประหยัดและเกิดประสิทธิภาพอย่างสูงสุด ทำให้ต้องมีการกำจัดมลพิษของสีย้อมก่อนที่จะปล่อยลงสู่แม่น้ำลำคลองในชุมชน

จากเหตุผลข้างต้นผู้วิจัยมีความต้องการที่จะพัฒนาตัวดูดซับจากวัสดุเหลือทิ้งทางการเกษตร ซึ่งแต่ละปีมีวัสดุเหลือทิ้งจากการเกษตรจำนวนมาก ได้แก่ แกลบ เพื่อให้ชุมชนสามารถนำมาประยุกต์ใช้ในการกำจัดสีย้อมผ้าในอุตสาหกรรมครัวเรือน โดยศึกษาปัจจัยที่มีผลต่อความสามารถในการกำจัด ได้แก่ เวลาที่สัมผัส ความเข้มข้นของสารละลาย และอุณหภูมิ ซึ่งนอกจากจะเป็นการนำรักษาเหลือทิ้งทางการเกษตรมาสร้างมูลค่าเพิ่มและใช้ประโยชน์ได้แล้ว และที่สำคัญเพื่อให้ได้ข้อมูลในการออกแบบถังบำบัดน้ำเสียสำหรับระบบปฏิบัติการจริงในการกำจัดสีย้อมของชุมชนต่อไป

1.2 วัตถุประสงค์ของการวิจัย

1. เพื่อพัฒนาวัสดุดูดซับและสร้างมูลค่าเพิ่มวัสดุเหลือทิ้งทางการเกษตร ได้แก่ แกลบ
2. ศึกษาปัจจัยที่มีผลต่อการกำจัดสีย้อมด้วยแกลบ ในปัจจัยต่าง ๆ ได้แก่ เวลาที่สัมผัส ความเข้มข้นของสารละลาย และอุณหภูมิ

1.3 ขอบเขตของโครงการวิจัย

1. ตัวดูดซับที่ใช้ได้แก่ แกลบ ซึ่งเป็นวัสดุเหลือทิ้งทางการเกษตรจากโรงสีในอำเภอบ้านหมี่ จังหวัดลพบุรี
2. น้ำตัวอย่างที่ใช้ในการทดลองเป็นน้ำสังเคราะห์และน้ำที่เหลือจากการย้อมผ้าจริงจากชุมชนวัดบ้านทราย ตำบลบ้านทราย อำเภอบ้านหมี่ จังหวัดลพบุรี

3. ศึกษาไอโซเทอร์ม จลนพลาสต์และอุณหพลศาสตร์การกำจัดสีเย้อมผ้าในอุตสาหกรรมครัวเรือนด้วยแกลบ เพื่อหาประสิทธิภาพและค่าคงที่ของแกลบ ได้แก่
 4. ศึกษาองค์ประกอบทางกายภาพและเคมีของแกลบ ได้แก่
 - 4.1 วิเคราะห์ลักษณะทางสัณฐานวิทยาและเทคนิคการวัดการกระจายพลังงานด้วย Scanning Electron Microscope equipped with Energy Dispersive Spectrometer (SEM-EDS) เพื่อศึกษาถึงพื้นผิวและการกระจายตัวของรูพรุน
 - 4.2 วิเคราะห์องค์ประกอบเคมีด้วย Scanning Electron Microscope equipped Energy Dispersive Spectrometer (SEM-EDS) เพื่อศึกษาถึงปริมาณซิลิกาและอลูมิเนียม
 - 4.3 วิเคราะห์หมู่ฟังก์ชันด้วย Fourier transform infrared spectroscopy (FT-IR) เพื่อศึกษาถึงหมู่ฟังก์ชัน
 - 4.4 พื้นที่ผิว (surface area) และรูพรุน (pore volume) ด้วย N_2 adsorption

1.4 กรอบแนวความคิดของการวิจัย



1.5 นิยามศัพท์

การดูดซับ คือ การถ่ายโอนองค์ประกอบจากของเหลว (liquid phase) ไปอยู่บนผิวของของแข็ง (solid phase) โดยเฉพาะที่จับอยู่กับผิวของแข็งเรียกว่า ตัวถูกดูดซับ (adsorbate) และที่แข็งที่จับตัวถูกดูดซับ เรียกว่า ตัวดูดซับ (adsorbent)

ไอโซเทอร์ม คือ ความสัมพันธ์ระหว่างปริมาณของตัวถูกดูดซับที่ถูกดูดซับ (qe) ต่อ 1 หน่วยมวลของตัวดูดซับที่ความเข้มข้นสมดุล (Ce) และที่อุณหภูมิคงที่

จนพอลศาสตร์การดูดซับ คือ จนพอลศาสตร์การดูดซับ คือ การศึกษาเกลไกการดูดซับจาก การเปลี่ยนแปลงความเข้มข้นของสารตั้งต้นต่อหนึ่งหน่วยเวลาหรือเรียกว่า อัตราเร็วของการดูดซับ (rate of reaction) ณ เวลาต่าง ๆ ก่อนการดูดซับเข้าสู่สภาวะสมดุล

บทที่ 2

2.1 น้ำทึ่งจากอุตสาหกรรมฟอกย้อม (สมาคมวิชวกรรมสิ่งแวดล้อมแห่งประเทศไทย, 2544) ลักษณะน้ำเสียของการฟอกย้อม จะมีปริมาณสารอินทรีย์สูงซึ่งเกิดจากแป้ง สีย้อม กรดแอซิติก เส้นใยและเส้นด้าย ซึ่งทำให้มีค่าปีโอดีปริมาณ 100–1000 มิลลิกรัมต่อลิตร และค่าปีโอดีประมาณ 500–1200 มิลลิกรัมต่อลิตร มีค่าความเป็นกรด–ด่างสูง มีของแข็งแขวนลอย มีอุณหภูมิสูงเนื่องจากการย้อมจะใช้อุณหภูมิในการย้อมสูงประมาณ 50 องศาเซลเซียส มีความเข้มของสีสูง มีโลหะเจือปนเนื่องจากโลหะจะเจือปนอยู่ในสีย้อมผ้า มีปริมาณสารแขวนลอยทั้งหมดสูง ซึ่งลักษณะน้ำเสียในการฟอกย้อมประเภทต่างๆ มีความแตกต่างกัน

ผลกระทบของน้ำเสียจากโรงงานฟอกย้อมต่อสิ่งแวดล้อม (สมาคมวิศวกรรมสิ่งแวดล้อมแห่งประเทศไทย, 2544)

1. สารอินทรีย์ ทำให้ปริมาณออกซิเจนละลายน้ำ (Dissolved oxygen; DO) ลดลง ซึ่งจะทำให้สิ่งมีชีวิตในน้ำตายเนื่องจากขาดออกซิเจน แหล่งน้ำไม่สามารถฟอกตัวเอง (self purification) ได้ทัน เกิดกลิ่น และไม่สามารถใช้แหล่งน้ำให้เป็นประโยชน์ทางเศรษฐกิจได้ และที่สำคัญสารอินทรีย์บางตัวเป็นพิษต่อสิ่งมีชีวิตทำให้เป็นอันตรายต่อสิ่งมีชีวิตในน้ำ เกิดการสะสมอยู่ในระบบนิเวศน์หากการนั้นเป็นสาร ที่สามารถตัวได้ยากเป็นอันตรายต่อชีวิตมนุษย์กรณีได้รับการโดยตรง

2. อุณหภูมิ น้ำเสียอุณหภูมิสูงจะส่งผลต่อสิ่งมีชีวิตในน้ำ ปริมาณออกซิเจนละลายน้ำลดลง เพิ่มอัตราการเจริญเติบโตและการไข้ออกซิเจนของจลินทรีย์

3. ของแข็งแขวนลอย ทำให้เพิ่มปริมาณอินทรีย์ในแหล่งน้ำ สามารถตัดตอนทำให้แหล่งน้ำดีน้ำดี รวมทั้งทำลายหินน้ำแข็งแห้งแห้ง

4. ของแข็งละลายน้ำ ซึ่งบางชนิดมีโลหะหนักเจือปนอยู่ทำให้เป็นอันตรายต่อสัตว์น้ำหรือมนุษย์ได้

5. สี ทำลายทัศนียภาพของแหล่งน้ำและปริมาณแสงที่จะผ่านลงสู่แหล่งน้ำลดลง ส่งผลให้พืชไม่สามารถรับประทานแสงได้ จะทำให้เริมyanออกซิเจนละลายน้ำในแหล่งน้ำลดลง

6. โลหะหนัก ทำให้สิ่งมีชีวิตในน้ำเกิดโรคที่ร้ายแรงได้ รวมทั้งโลหะหนักเป็นสารที่สะสมอยู่ในระบบปัสสาวะ และเป็นอันตรายต่อสุขภาพของมนุษย์

สี่ย้อมที่นำมาใช้ในการย้อมมืออยู่มากหมายหลาภยชนิด การที่จะนำสีย้อมได ๆ มาใช้ในการย้อมให้ได้ผลดีนั้น ขึ้นอยู่กับความสามารถในการรวมตัวของสีกับเส้นใย ซึ่งต้องมีมากกว่าการรวมตัวของสีกับน้ำ โดยสามารถทำให้เกิดสภาวะ เช่นนี้ขึ้นได เมื่อโมเลกุลของสีย้อมมีหมู่อะตอนซึ่งถูกจัดให้เรียงตัวกันในลักษณะที่จะทำให้เกิดการดูดติด (substativity) กับเส้นใยแล้วเกิดพันธะ (bond) ยึดกันแน่น อาจกล่าว ได้ว่างๆก่อว่าแรงกระทำหรือพันธะที่ทำให้สีดูดติดกับเส้นใยได คือพันธะไฮโดรเจน (hydrogen bond) แรงแวนเดอร์วัลส์ (Van der Waals forces) แรงไอออน (ionic forces) พันธะโควาเลนท์ (covalent bond) แรงเหล่านี้มักจะไม่ทำหน้าที่เพียงลำพัง การดูดติดกันระหว่างโมเลกุลของสีย้อมกับโมเลกุลของเส้นใยอย่างน้อยจะต้องประกอบไปด้วยแรง 2 ชนิดขึ้นไป บางครั้งก็

อาจเกิดแรงทั้ง 4 ชนิดผสมผสานกัน สำหรับแรงยึดติดทางเคมีที่จะทำให้เกิดการยึดติดได้ดีที่สุด คือ พันธะโควาเลนท์ (นครินทร์, 2549)

2.2 แกลบ (Rice husk)

แกลบ เป็นวัสดุเหลือทิ้งจากการเกษตรที่มีมากในประเทศไทย คือ ประมาณ 23 % ของข้าวที่ผลิต (Prasara-A, 2006). ดังนั้นในแต่ละปีจะมีปริมาณแกลบเหลือทิ้งเป็นจำนวนมาก แกลบมีองค์ประกอบหลัก ได้แก่ เซลลูโลส เยมิเซลลูโลส และลิกนิน (เหมือนกับชานอ้อย) แต่ในเยมิเซลลูโลสประกอบด้วย D-xylose, D-galctose, L-arabinose และ D-glucuronic acid ซึ่งพืชแต่ละชนิดจะมีองค์ประกอบและปริมาณที่แตกต่างกัน (Genieva, and others, 2008) ตารางที่ 1 แสดงองค์ประกอบพื้นฐานและตารางที่ 2 ได้แสดงองค์ประกอบทางกายภาพและเคมีของแกลบตามลำดับ

ตารางที่ 1.1 องค์ประกอบพื้นฐานของแกลบ

องค์ประกอบ (%) โดยมวล				อ้างอิง
เซลลูโลส	เยมิเซลลูโลส	ลิกนิน	ถ้า	
31.12	22.48	22.34	13.87	Senthil Kumar, and others, 2010
28.6	28.6	24.4	18.4	Di Blasi, 1999
34.4	29.3	19.2	-	Mahvi, and others, 2004

ตารางที่ 2.1 องค์ประกอบทางกายภาพและเคมีของแกลบ

องค์ประกอบ	ร้อยละ
Proximate Analysis : Fixed carbon	9.3
Volatile matter	72.8
Ash content	17.9
Higher heating value, MJ kg^{-1}	-
Ultimate Analysis : Carbon	48.9
Hydrogen	6.2
Oxygen (by difference)	44.1
Nitrogen	0.8

ที่มา (Wannapeera et al., 2008)

2.3 ประโยชน์ของแกลบ

ใช้เป็นเชื้อเพลิง วัสดุก่อสร้าง อาหารเลี้ยงสัตว์ เครื่องนอน ปุ๋ย ผลิตชิลิกอนการ์บีร์ และขี้เถ้าแกลบ (เข่น ใช้ในงานคอนกรีต ตัวเร่งปฏิกิริยา) เป็นต้น (Rice hulls or Rice husk, 2010)

2.4 การดูดซับ

การดูดซับเป็นการแยกสารองค์ประกอบที่ต้องการออกจากสารละลายของเหลวหรือก๊าซโดยให้สารละลายหรือก๊าซผสมสัมผัสกับตัวดูดซับ องค์ประกอบแต่ละชนิดในสารละลายมีความสามารถในการระจายบนผิวและเกิดแรงดึงดูดกับตัวดูดซับได้ต่างกัน

กระบวนการดูดซับจะเกิดขึ้นเรื่อยๆ โดยที่สารที่ถูกดูดซับจะถูกดูดซับและคายการดูดซับ (desorption) ไปพร้อมๆ กัน จนกว่าอัตราการดูดซับและการคายการดูดซับจะเท่ากัน ซึ่งจะทำให้เกิดสมดุล เรียกว่า สมดุลของการดูดซับ (Adsorption equilibrium) ส่วนไอโซเทอมของการดูดซับ (Adsorption isotherm) เป็นความสัมพันธ์ระหว่าง ปริมาณของสารที่ถูกดูดซับ ต่อ น้ำหนักของตัวดูดซับ กับความเข้มข้นของสารที่ถูกดูดซับที่เหลืออยู่ ที่สมดุลการดูดซับไปพล็อตกราฟกับปริมาณของสารที่ถูกดูดซับต่อน้ำหนักตัวดูดซับ จะได้เส้นโค้งแนวโน้ม ที่เกิดขึ้นจากการลากผ่านจุดที่ได้จากการทดลองทั้งหมด เรียกว่า ไอโซเทอมของการดูดซับรูปแบบของไอโซเทอมของการดูดซับมีหลายสมการด้วยกัน ซึ่งแล้วแต่ว่าจะนำเอาสมการแบบใดมาอธิบายเกี่ยวกับสมดุลของการดูดซับ แต่ที่นิยมนำมาใช้ในการอธิบายการดูดซับ คือ สมการไอโซเทอมการดูดซับของแลงเมียร์ (Langmuir's adsorption isotherm) สมการไอโซเทอมการดูดซับของฟรุนดลิกซ์ (Freundlich's adsorption isotherm) และไอโซเทอมการดูดซับของเทนคิน (Temkin's adsorption isotherm) โดยไอโซเทอมแต่ละรูปแบบมีรายละเอียดดังนี้

1. ไอโซเทอมการดูดซับของแลงเมียร์ มีสมมติฐานของสมการว่าทุกๆ ตำแหน่งดูดซับ (Adsorption site) มีลักษณะเหมือนกัน (Homogeneous) และการดูดซับจะเกิดขึ้นบนพื้นผิวที่มีพื้นที่ในการดูดซับที่แน่นอนและพื้นที่นั้นๆ สามารถดูดซับไม่เกลอกได้เพียงชั้นเดียว (Monolayer) สมการเส้นตรงไอโซเทอร์มการดูดซับแบบแลงเมียร์ ดังสมการ 1

$$\frac{C_e}{q_e} = \frac{1}{q_m} C_e + \frac{1}{K_L q_m} \quad \dots\dots\dots(1)$$

โดยที่ C_e = ความเข้มข้นที่สมดุลของตัวดูดซับ (มิลลิกรัมต่อลิตร) q_e = ปริมาณการดูดซับของตัวดูดซับที่สมดุล (มิลลิกรัมต่อลิตร) q_m = ปริมาณสี่ย้อมที่ถูกดูดซับต่อปริมาณตัวดูดซับ (มิลลิกรัมต่อลิตร) K_L = ค่าคงที่ของสมการแลงเมียร์

2. ไอโซเทอร์มแบบฟรุนดลิช มีสมมติฐานของสมการว่าทุกๆ ตำแหน่งคุดซับ(Adsorption site) มีลักษณะไม่เหมือนกัน (Heterogenous) และการคุดซับจะเกิดขึ้นสามารถ คุดซับไม่เลกุลได้หลายชั้น (Multilayer) สมการสืบทอดของไอโซเทอร์มฟรุนดลิช ดังสมการ 2

$$\log q_e = \log K_F + \frac{1}{n} \log C_e \quad \dots\dots\dots(2)$$

โดยที่ q_e = ปริมาณของสีย้อมคงคุดซับต่อปริมาณของตัวคุดซับ (มิลลิกรัมต่อกรัม) C_e = ความเข้มข้นของสีย้อมที่จุดสมดุล (มิลลิกรัมตอลิตร) K_F = ค่าคงที่ของฟรุนดลิช (ลิตรต่อมิลลิกรัม) และ n = ค่าคงที่สัมพันธ์กับพลังงานของการคุดซับ

2.5 จอนพลศาสตร์การคุดซับ

จอนพลศาสตร์การคุดซับด้วยสมการ Pseudo-First Order Equation ดังสมการ 3

$$\log(q_e - q_t) = \log q_e - \frac{k_1 t}{2,303} \quad \dots\dots\dots(3)$$

โดยที่ q_e = ความสามารถในการคุดซับที่สภาวะสมดุล (มิลลิกรัมต่อกรัม) q_t = ความสามารถในการคุดซับ (มิลลิกรัมต่อกรัม) k_1 = ค่าคงที่อัตราเร็วของปฏิกิริยาอันดับที่หนึ่ง (ต่อนาที) t = เวลาที่ใช้ในการคุดซับ (นาที)

สมการ Pseudo-Second Order Equation ดังสมการ 4

$$\frac{t}{q_t} = \frac{1}{k_2 q_e^2} + \frac{1}{q_e} t \quad \dots\dots\dots(4)$$

2.6 อุณหพลศาสตร์การคุดซับ

อุณหภูมิเป็นปัจจัยหนึ่งที่ส่งผลต่อกระบวนการคุดซับ ดังนั้นจึงศึกษาพารามิเตอร์ทางอุณหพลศาสตร์ เช่น เอนทาล皮 (ΔH) เอนโทรปี (ΔS) และพลังงานอิสระ (ΔG) ของการคุดซับ ความสัมพันธ์ระหว่างเทอร์มการคุดซับและพารามิเตอร์ทางอุณหพลศาสตร์จะเขียนเป็นสมการ ได้ว่า

$$\log(q_e/C_e) = (\Delta S_{ads}/2.303R) - (\Delta H_{ads}/2.303RT) \quad \dots\dots\dots(5)$$

โดย q_e เป็นปริมาณการคุดซับมีหน่วยเป็น มิลลิกรัมต่อกรัม(mg/g) C_e เป็นความเข้มข้นของตัวถูกคุดซับที่ภาวะสมดุลมีหน่วยเป็น มิลลิกรัมตอลิตร(mg/L) T เป็นอุณหภูมิในหน่วยเคลวิน(K)

และ เป็นค่าคงที่ของแก๊ส

พลังงานอิสระ (ΔG_{ads}) เอนโทรปี (ΔS_{ads}) เอนทาลปี(ΔH_{ads}) ของการดูดซับจะเขียนเป็น
ความสัมพันธ์ได้ว่า

$$\Delta G_{ads} = \Delta H_{ads} - T\Delta S_{ads} \quad \dots\dots\dots(6)$$

2.7 การกำจัดสีย้อมด้วยกระบวนการการดูดซับ

การกำจัดสีย้อมจากน้ำเสียมีวิธีในการกำจัดหลายวิธีทั้งแบบกายภาพและเคมีในกระบวนการการต่าง ๆ แต่การดูดซับเป็นวิธีที่ได้เปรียบกว่าวิธีอื่นๆ ทั้งในเรื่องของประสิทธิภาพ ในการกำจัด ค่าใช้จ่าย ง่ายต่อการดำเนินระบบ และไม่ทำให้เกิดสารพิษ แต่อย่างไรก็ตามการเลือกตัวดูดซับให้เหมาะสม แม้มีประสิทธิภาพก็เป็นสิ่งสำคัญมาก ซึ่งต้องคำนึงถึงค่าใช้จ่าย ในการบำบัดน้ำเสียด้วย ในปัจจุบัน มีการใช้ตัวดูดซับหรือมีการพัฒนาตัวดูดซับกันมากขึ้น และ ตัวดูดซับที่นิยมใช้ในปัจจุบัน ได้แก่ตัวดูดซับที่เป็นวัสดุเหลือทั้งจากการเกษตร เช่น ใน กากใย เปลือกผลไม้ เมล็ด เป็นต้น และวัสดุเหลือทั้งจากอุตสาหกรรม เช่น ขี้เลือย เปลือกไม้ เป็นต้น ซึ่งขี้เลือยเป็นวัสดุเหลือทั้งจากการอุตสาหกรรมไม้ที่สามารถใช้เป็นเชื้อเพลิงสำหรับทำอาหารและกล่องบรรจุภัณฑ์ รวมทั้งหาจ่ายและราคามาตร捧 (Garg, 2004) และมีสารอินทรีย์เป็นองค์ประกอบ (ลิกนิน เซลลูโลสและไฮเมเซลลูโลส) ของหมู่โพลีฟินอลิก ซึ่งสามารถเกิดกลไกการจับ (binding) กับสารละลายนมทีลีนบลูได้ (Shukla et al., 2002)

วัสดุเหลือทั้งจากการเกษตร มีสารอินทรีย์ เป็นองค์ประกอบ (ลิกนิน เซลลูโลสและไฮเมเซลลูโลส) ของหมู่โพลีฟินอลิก ซึ่ง Jacobsen and Wyman (2000) กล่าวว่าเซลลูโลสเป็นองค์ประกอบที่สำคัญของผนังเซลล์พืช โดยเซลลูโลสมีหมู่ไฮดรอกซิล (-OH) ซึ่งสามารถแลกเปลี่ยนไออกอนบวกกับไออกอนได้ ไฮเมเซลลูโลสเป็นส่วนของพืชที่ประกอบด้วยโพลีแซคคาไรด์หลายชนิด ซึ่งพืชแต่ละชนิดจะมีองค์ประกอบที่แตกต่างกัน และลิกนิน (Lignin) เป็นสารประกอบเชิงซ้อนที่มีโครงสร้าง 3 มิติ เป็น aromatic polymer ไม่ชอบน้ำ(หมู่ฟังก์ชัน คือ หมู่ methoxyl group-OCH₃ หมู่ hydroxyl group-OH และส่วนที่เป็น Phenolic) หมู่ไฮดรอกซิลสามารถทำปฏิกิริยา กับหมู่ฟังก์ชันอื่นหรือกับหมู่อัลดีไฮด์หรือหมู่คิโตนเกิด linkage ใหม่ขึ้นและสร้างพันธะต่อเนื่องกันไปเรื่อยๆ

ในงานวิจัยที่ผ่านมา มีผู้จัดที่ทำตัวดูดซับสีย้อมจากวัสดุเหลือทั้งจากการเกษตร เช่น

○ Han et al., (2007). ศึกษาใช้แกลบดูดซับเมทีลีนบลูในระบบคอลัมน์ โดยศึกษาพื้นที่ อัตราการไหล ความเข้มข้นของเมทีลีนบลู และความสูงของแกลบ ใช้สมการโบทมัสคำนวณการดูดซับของอัตราการไหล และความเข้มข้นของเมทีลีนบลู สมการ BDST คำนวณผลการทดลอง พบร่วงแกลบสามารถดูดซับเมทีลีนบลูได้อย่างรวดเร็วและมีประสิทธิภาพที่อัตราการไหล 8.2 มิลลิลิตรต่อนาที และความเข้มข้นเมทีลีนบลู 50 มิลลิกรัมต่อลิตร มีสมดุลการดูดซับ 4.41 มิลลิกรัมต่อกิโลกรัม

Han et al., (2008). ใช้แกลบดูดซับคงโภคเตในระบบคอสัมป์ ปัจจัยที่ศึกษาได้แก่ พีเอช อัตราการไหล ความเข้มข้นเริ่มต้นของเมทิลีนบูล และความสูงของแกลบ ผลการทดลองที่ได้นำมา พลอตกราฟเบรคทรู ใช้สมการโถมัส อดัมส์-โบไฮร์ท และยูน-เนลสัน และสมการ BDST คำนวณผล ของความสูงของแกลบ พบร่วมกับสมการโถมัสคำนวณผลการทดลองได้ดี

Mahvi et al., (2004). ศึกษาการใช้แกลบและถ้าแกลบดูดซับฟินอล และศึกษาจลนศาสตร์และไอโซเทอมการดูดซับในระบบเขี้ยว ปัจจัยศึกษาที่ศึกษาได้แก่ พีเอช ความเข้มข้น ปริมาณตัวดูดซับ พบร่วมกับการดูดซับที่สมดุลของแกลบและถ้าแกลบจะเข้าสู่สมดุลภายในเวลา 6 ชั่วโมง ความเข้มข้น 150-500 มิโครกรัมต่อลิตร และเวลา 3 ชั่วโมง ที่ความเข้มข้น 500-1300 มิโครกรัมต่อลิตร ตามลำดับ จลนศาสตร์การดูดซับสอดคล้องกับสมการอันดับหนึ่ง การดูดซับฟินอลเพิ่มขึ้นเมื่อค่าพีเอชเพิ่มขึ้น ผลการทดลองสอดคล้องกับสมการແลงเมียร์ โดยถ้าแกลบมีประสิทธิภาพในการดูดซับมากกว่า

นครินทร์(2549) ศึกษาการกำจัดสีย้อมผ้าจากน้ำล้างสีย้อมผ้าโดยการใช้แกลบที่ปรับสภาพด้วย วิธีทางเคมี ทำการทดลองที่สภาวะ อุณหภูมิในการดูดซับ 30°C pH = 7 และความเข้มข้นเริ่มต้นของ สีย้อมผ้า 150 ppm พบร่วมกับแกลบที่ปรับสภาพด้วยโซเดียมไฮดรอกไซด์ 10 wt% และแกลบที่ปรับสภาพด้วยนอร์มัล-3-คลอโร-2-ไฮดรอกไซฟิลไตรามิลแอมโมเนียมคลอไรด์ 60wt% (CHMAC) สามารถดูดซับสีเบสิก และสีรีแอคทีฟ ได้เท่ากับ 97.16% และ 71.87% ตามลำดับ ส่วนถ่านกัมมันต์ สามารถดูดซับสีเบสิกได้ 97.59% แต่เมื่อสามารถดูดซับสีรีแอคทีฟได้ ผลการศึกษาความเข้มข้นของ โซเดียมไฮดรอกไซด์ กับเวลาในการปรับสภาพแกลบ พบร่วมกับแกลบที่ปรับสภาพด้วยโซเดียมไฮดรอกไซด์ ความเข้มข้น 10 wt% กับเวลาในการปรับสภาพแกลบ 1 วัน สามารถดูดซับสีเบสิกได้ที่สุด และแกลบที่ปรับสภาพด้วย CHMAC ความเข้มข้น 60 wt% กับเวลาในการปรับสภาพแกลบ 4 ชั่วโมง สามารถดูดซับสีรีแอคทีฟได้ที่สุด โดยเมื่ออุณหภูมิในการดูดซับเพิ่มจาก 30°C เป็น 70°C ความสามารถในการดูดซับสีเบสิกและสีรี แอคทีฟ จะเพิ่มจาก 71.87% เป็น 94.47% สำหรับผล ของ pH พบร่วมกับแกลบสามารถดูดซับสีเบสิกได้ที่ pH = 12 และแกลบสามารถดูดซับสีรีแอคทีฟได้ที่ pH = 2

ศรีประภา กล่าวในวัน อยุธยาและคณะ (2545). ศึกษาการกำจัดสีเมทัลคอมเพล็กซ์จากน้ำเสีย พอกย้อมสังเคราะห์โดยแกลบ พื้นผิวแกลบประกอบด้วยหมู่ไฮดรอกซิล (-OH) คีโนน ($>\text{C}=\text{O}$), อัลดีไฮด์ ($-\text{CHO}$) คาร์บอคซิเลท ($-\text{CO}_2$) ไซโลกเซน ($\text{Si}-\text{O}-\text{Si}$) และไซเลนอล ($\text{Si}-\text{OH}$) ที่มี ความสามารถในการดูดซับได้ทั้งสารสีย้อมและโลหะหนัก ดังนั้นจึงมีความเหมาะสมในการนำมาใช้ใน การกำจัดสีย้อมที่มีโลหะเป็นองค์ประกอบ เช่น สีชนิดไดเรกท์ และแอเชิด คือ Sirius Blue Direct KGRLN และ Black Acid 172 ที่มี Cu และ Cr เป็นองค์ประกอบในโครงสร้างสี จากการศึกษา พบร่วมกับแกลบสามารถกำจัดน้ำเสียสีย้อม Sirius Blue Direct KGRLN และ Black Acid 172 เข้มข้น 215 และ 164 มิลลิกรัมต่อลิตรได้ถึง 88% และ 95% ตามลำดับ โดยไม่พบร่วมกับการแยกตัวของโลหะการ ดูดซับเข้าสู่สมดุลภายใน 15 นาที อัตราการดูดซับขึ้นกับขั้นการกระจายและการดูดซับภายในอนุภาค

ค่าคงที่ของอัตราการดูดซับ (k_{ad}) และค่าคงที่ที่สมดุล (K_c) ของการกำจัดสีไดเรกท์ และสีแอกซิดที่อัตราส่วนน้ำหนักแกลบต่อปริมาตรน้ำเสีย 5% คือ 0.133 นาที^{-1} และ 0.392 นาที^{-1} และ 0.930 และ 0.954 ตามลำดับ และแกลบมีความจุของการดูดซับสีไดเรกท์และสีแอกซิดสูงสุด (Q_{max}) ที่อยุ่นหู่มิ 30 องศาเซลเซียส เท่ากับ 9.72 และ 32.50 มิลลิกรัมต่อกรัม ตามลำดับ โดยค่า Q_{max} จะเพิ่มขึ้นเมื่อยุ่นหู่มิของระบบการดูดซับลดลง และค่าเออนทาลปี (ΔH) มีค่าเท่ากับ 3.8 และ 2.9 กิโลจูลต่อมิล ตามลำดับ ซึ่งแสดงให้เห็นว่ากลไกของการดูดซับสีเกิดจากการดูดซับทางเคมีและการดูดซับทางฟิสิกส์

บทที่ 3

วิธีดำเนินการวิจัย

3.1 การเตรียมสารละลายสีเย็บ

1. ประชากรและกลุ่มตัวอย่าง

น้ำตัวอย่าง เป็นน้ำตัวอย่างที่เตรียมขึ้นและน้ำตัวอย่างจริง
ตัวดูดซับ คือ แกลบ

2. ศึกษาประสิทธิภาพและปัจจัยที่มีผลต่อการดูดซับ

3.2 ศึกษาประสิทธิภาพการดูดซับ

3.2.1 การเตรียมตัวดูดซับ

แกลบมาล้างน้ำและแข็งด้วย 0.1 M HCl นำไปอบให้แห้งที่อุณหภูมิ 80 องศาเซลเซียส และนำมารีดขนาดให้ได้ออนุภาค 50–100 เมช เก็บในถุงความชื้น

3.2.2 ศึกษาองค์ประกอบทางกายภาพและเคมีของแกลบ ได้แก่

- วิเคราะห์ลักษณะทางสัณฐานวิทยาและเทคนิคการวัดการกระจายพลังงานด้วย Scanning Electron Microscope equipped with Energy Dispersive Spectrometer (SEM-EDS) เพื่อศึกษาถึงพื้นผิวและการกระจายตัวของรูพรุน
- วิเคราะห์องค์ประกอบเคมีด้วย Scanning Electron Microscope equipped Energy Dispersive Spectrometer (SEM-EDS) เพื่อศึกษาถึงปริมาณชิลิกะและอลูมินา
- วิเคราะห์หมู่ฟังก์ชันด้วย Fourier transform infrared spectroscopy (FT-IR) เพื่อศึกษาถึงหมู่ฟังก์ชัน
- พื้นที่ผิว (surface area) และรูพรุน (pore volume) ด้วย N₂ adsorption

3.2.3 ศึกษาประสิทธิภาพการกำจัดสีเย็บ

ศึกษาประสิทธิภาพการกำจัดสีเย็บด้วยปัจจัยต่าง ๆ ได้แก่ เวลาที่สัมผัส ความเข้มข้นของสารละลายและอุณหภูมิ มีขั้นตอนการทดลองมีดังนี้

3.2.3.1 ศึกษาเวลาที่เข้าสู่สมดุล

- ชั่งตัวดูดซับแกลบปริมาณที่เหมาะสม ลงในขวดรูป楚形พู่ขนาด 250 มิลลิลิตร
- ปีเปทน้ำตัวอย่าง ปริมาตร 100 มิลลิลิตร ใส่ในขวดรูป楚形พู่ในข้อ 1
- นำตัวอย่างมาเขย่าที่ช่วงเวลาต่าง ๆ ที่ความเร็ว 220 รอบต่อนาที อุณหภูมิ 30°C

4. นำสารละลายที่เวลาต่างๆไปกรองด้วยกระดาษกรองเบอร์ 42 และวัดปริมาณสีย้อมที่เหลือด้วยเครื่อง UV-Vis spectrophotometer
 5. ทำการทดลองซ้ำ 3 ชั้า แล้วนำค่าปริมาณการดูดซับที่เวลาต่างๆไปเขียนกราฟ เพื่อหาเวลาที่เข้าสู่สมดุล

3.2.3.2 ศึกษาผลของความเข้มข้นสารละลาย

1. ชั่งแกลบปริมาณที่เหมาะสม ลงในขวดรูปทรงพู่ขนาด 250 มิลลิลิตร
2. ปีเปต้น้ำตัวอย่างที่ความเข้มข้นต่าง ๆ (จำนวน 5 ค่า) ปริมาตร 100 มิลลิลิตร ลงในขวดรูปทรงพู่ ในข้อ 1
3. นำตัวอย่างมาเขย่าที่ช่วงเวลาเข้าสมดุลจากข้อ 2.2 ที่ความเร็ว 220 รอบต่อนาที อุณหภูมิ 30°C
4. นำสารละลายที่ได้ไปกรองด้วยกระดาษกรองเบอร์ 42 และวัดปริมาณสีย้อมที่เหลือด้วยเครื่อง UV-Vis spectrophotometer
5. ทำการทดลองซ้ำ 3 ชั้า แล้วเขียนกราฟระหว่างค่าปริมาณการดูดซับกับปริมาณตัวดูดซับ

3.2.3.3 นำตัวดูดซับไปทดสอบกับน้ำตัวอย่างจริงจากชุมชน

$$\% \text{ การกำจัด} = \frac{(C_0 - C_t)}{C_0} \times 100 \quad \dots\dots\dots(6)$$

และคำนวณความสามารถในการกำจัด (adsorption capacity) ดังสมการ 7

$$q = \frac{V(C_0 - C_t)}{W} \quad \dots\dots\dots(7)$$

โดยที่ q = ความสามารถในการกำจัด (มิลลิกรัมต่อกิโลกรัม) C_0 = ความเข้มข้นเริ่มต้นของน้ำตัวอย่าง (มิลลิกรัมต่อลิตร) C_t = ความเข้มข้นที่เหลืออยู่ที่เวลาหนึ่ง ๆ (มิลลิกรัมต่อลิตร) V = ปริมาตรน้ำเสียที่ใช้ (ลิตร) และ W = ปริมาณตัวดูดซับ (กรัม)

บทที่ 4

ผลการวิจัยและอภิปรายผลการทดลอง

ในการทดลองนี้ แบ่งการทดลองดังบทที่ 3 ที่มีขั้นตอนการทดลองดังนี้

ตอนที่ 1 ศึกษาคุณลักษณะทางกายภาพและเคมีของตัวดูดซับ ได้แก่

1. วิเคราะห์พื้นที่ผิว ด้วยวิธีบีอีที (Bet method)
2. วิเคราะห์พื้นผิวด้วย Scanning Electron Microscope (SEM)
3. วิเคราะห์หมู่ฟังก์ชันด้วย Fourier transform infrared spectroscopy (FT-IR)

ตอนที่ 2 ประสิทธิภาพการดูดซับ โดยศึกษาปัจจัยที่มีผลต่อการดูดซับ ได้แก่

1. เวลาที่เข้าสู่สมดุล
2. ความเข้มข้นของสารละลาย
3. อุณหภูมิ

ตอนที่ 3 จากผลการทดลองใช้แบบจำลองคณิตศาสตร์แบบโอลเซอร์มและจลนพลศาสตร์ การดูดซับ

ผลการทดลองมีรายละเอียด ดังต่อไปนี้

4.1 ศึกษาคุณลักษณะทางกายภาพและเคมีของตัวดูดซับ

4.1.1 วิเคราะห์พื้นที่ผิวของตัวดูดซับด้วยวิธีบีอีที โดยการดูดซับแก๊สในไตรเจนที่อุณหภูมิ 77 เคลวิน ด้วยเครื่อง Autosorb-1 MP Quantachrome (ภาควิชาเคมีอุตสาหกรรม มหาวิทยาลัย เชียงใหม่) พบร่วงเกลอบมีพื้นที่ผิวเท่ากับ 18.27 ตารางเมตรต่อกิริมิ ปริมาตรรูพรุนทั้งหมด (total pore volume) เท่ากับ $0.039 \text{ cm}^3/\text{g}$ และรัศมีรูพรุนเฉลี่ย (average pore radius) เท่ากับ 42.72 \AA

4.1.2 วิเคราะห์พื้นผิวของเกลอบด้วย Scanning Electron Microscope (SEM) ที่ กำลังขยาย 2000X ดังรูปที่ 4.1

จากรูป 4.1 พื้นผิวของเกลอบ พบร่วงพื้นผิวของเกลอบมีลักษณะชรุขระและมีรูพรุนขนาดเล็ก และใหญ่ ซึ่งโดยทั่วไปพบว่าโครงสร้างของตัวดูดซับที่มีรูพรุนและมีพื้นผิวที่ชรุขระสามารถกำจัดสาร ปนเปื้อนต่าง ๆ ได้ดี

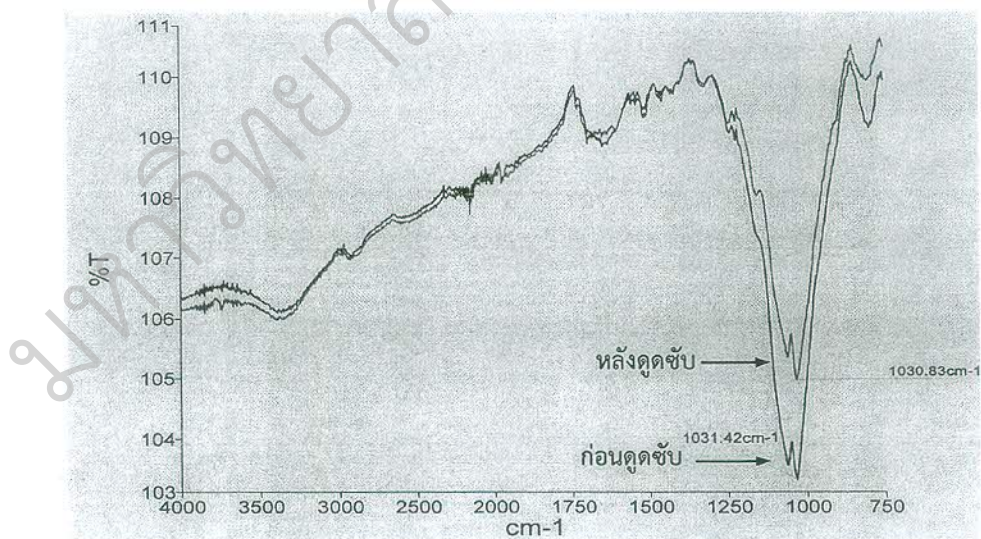


รูป 4.1 พื้นผิวของแกลบที่กำลังขยาย 2000X

จากรูป 4.1 พื้นผิวของแกลบ พบร้าพื้นผิวของแกลบมีลักษณะขุ่นระและมีรูพรุขนาดเล็ก และใหญ่ ซึ่งโดยทั่วไปพบว่าโครงสร้างของตัวคุดชับที่มีรูพรุและมีพื้นผิวที่ขุ่นสามารถกำจัดสาร ปนเปื้อนต่าง ๆ ได้ดี

4.1.4 วิเคราะห์หมู่ฟังก์ชันของแกลบก่อนและหลังคุดชับสี้อมด้วย Fourier transform infrared spectroscopy (FT-IR) ดังรูปที่ 4.2

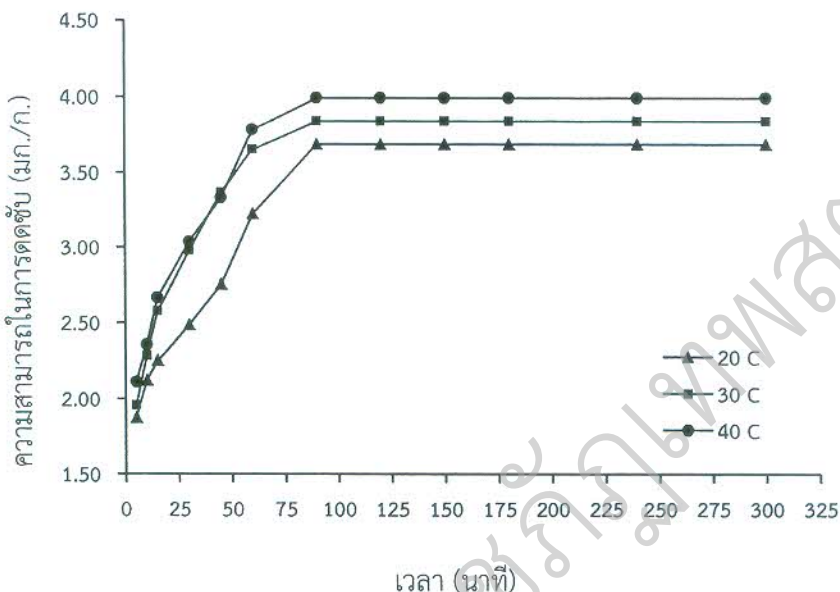
จากรูปที่ 4.2 วิเคราะห์หมู่ฟังก์ชันของตัวคุดชับที่ความยาวคลื่น $4000\text{--}750\text{ cm}^{-1}$ พบร้า มีพีกในช่วงความยาวคลื่นประมาณ 1031.42 cm^{-1} แสดงถึงพันธะ Si-O และหลังการคุดชับพบว่า พีกเคลื่อนที่ไปที่ 1030.81 cm^{-1}



รูป 4.2 หมู่ฟังก์ชันของแกลบก่อนและหลังคุดชับสี้อม

4.2 ผลของเวลาที่เข้าสู่สมดุลที่อุณหภูมิต่าง ๆ

ทำการทดลองการดูดซึบสารละลายที่เวลา 5-300 นาที โดยใช้ปริมาณตัวดูดซึบ 0.5 กรัม ที่ความเข้มข้นสารละลาย 20 มิลลิกรัมต่อลิตร ปริมาตร 100 มิลลิลิตร ที่อุณหภูมิ 20 30 และ 40 องศาเซลเซียส ดังรูปที่ 4.3

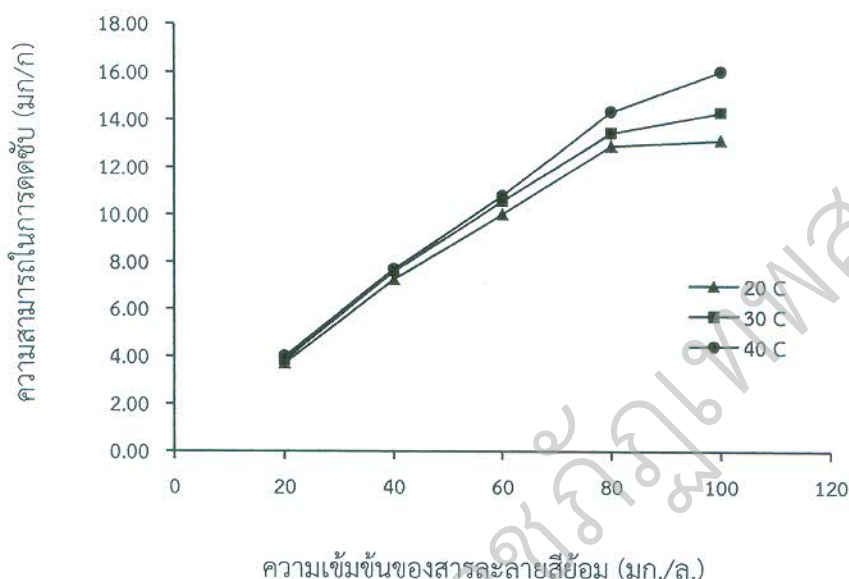


รูปที่ 4.3 ผลของเวลาในการดูดซึบสีย้อมด้วยแกลบ

ในการศึกษาผลของเวลาที่เข้าสู่สมดุลที่มีต่อประสิทธิภาพการดูดซึบสีย้อมด้วยแกลบ ที่อุณหภูมิ 20 30 และ 40 องศาเซลเซียส โดยทำการศึกษาที่เวลาต่าง ๆ คือ 5 10 15 30 45 60 90 120 150 180 210 240 และ 300 นาที ที่ความเข้มข้นสีย้อม 20 มิลลิกรัมต่อลิตร ผลการทดลองดังรูปที่ 4.3 พบร่วมกันว่าการดูดซึบเกิดขึ้นอย่างรวดเร็วที่เวลา 5 นาที โดยมีค่าความสามารถในการดูดซึบ (q_t) เท่ากับ 1.857 1.956 และ 2.114 มิลลิกรัมต่อกิโลกรัม ที่อุณหภูมิ 20 30 และ 40 องศาเซลเซียส ตามลำดับ การที่การดูดซึบที่เกิดขึ้นอย่างรวดเร็วในช่วงเริ่มต้นเนื่องจากมีบริเวณทำแห่งดูดซึบ (binding site) ของตัวดูดซึบยังว่างอยู่ และการที่เกิดการดูดซึบขึ้นอย่างรวดเร็วในช่วงแรก เกิดจากการดูดซึบทาทางภายในของพลาสติกหรือเกิดการแลกเปลี่ยนประจุบนพื้นผิวของตัวดูดซึบ (Gupta and Rastogi, 2009) การดูดซึบจะดำเนินไปเรื่อย ๆ จนกระทั่งการดูดซึบเริ่มช้าลงและเข้าสู่สมดุลที่เวลา 90 นาที โดยมีค่าความสามารถในการดูดซึบที่สมดุลเท่ากับ 3.689 3.842 และ 3.911 มิลลิกรัมต่อกิโลกรัม ที่อุณหภูมิ 20 30 และ 40 องศาเซลเซียส ตามลำดับ

4.3 ผลของความเข้มข้นของสารละลายที่อุณหภูมิต่าง ๆ

ทำการทดลองการดูดซึบสารละลายสีเย็นด้วยแกลบ ใช้ปริมาณตัวดูดซึบ 0.5 กรัม ที่ความเข้มข้นสารละลายสีเย็น 20-100 มิลลิกรัมต่อลิตร ปริมาตร 100 มิลลิลิตร เวลาที่เข้าสู่สมดุล 90 นาที (จากข้อ 4.2) ที่อุณหภูมิ 20 30 และ 40 องศาเซลเซียส ดังรูปที่ 4.4



รูปที่ 4.4 ผลของความเข้มข้นของสารละลายสีเย็น

ผลของความเข้มข้นของสารละลายสีเย็นที่ความเข้มข้น 20-100 มิลลิกรัมต่อลิตร ที่อุณหภูมิ 20 30 และ 40 องศาเซลเซียส จากรูปที่ 4.4 ผลการทดลองพบว่าการดูดซึบสีเย็นด้วยแกลบมีค่าความสามารถในการดูดซึบเท่ากับ $3.689-13.175$ $3.842-14.327$ และ $3.993-16.060$ มิลลิกรัมต่อลิตร ที่อุณหภูมิ 20 30 และ 40 องศาเซลเซียส ตามลำดับ

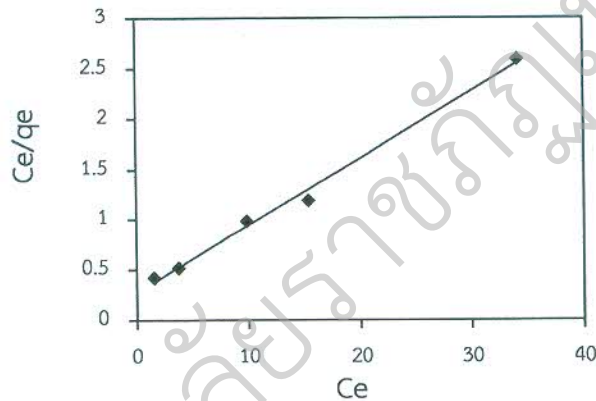
4.4 ไอโซเทอร์มการดูดซึบ

ในกระบวนการดูดซึบนิยมใช้สมการไอโซเทอร์มช่วยในการคำนวณและออกแบบการทดลอง และในกระบวนการดูดซึบสีเย็นด้วยแกลบ โดยใช้แบบจำลองแลงเมียร์และฟรุนเดลิช อธิบายผลการทดลอง และในการทดลองครั้งนี้ทำการทดลองที่ความเข้มข้นสารละลาย 20-100 มิลลิกรัมต่อลิตร ปริมาณตัวดูดซึบ 0.5 กรัม เวลาในการเขย่า 90 นาที ที่อุณหภูมิ 20 30 และ 40 องศาเซลเซียส ผลการทดลองและค่าความสัมพันธ์ตามสมการไอโซเทอร์มจะเป็นดังตารางที่ 4.1

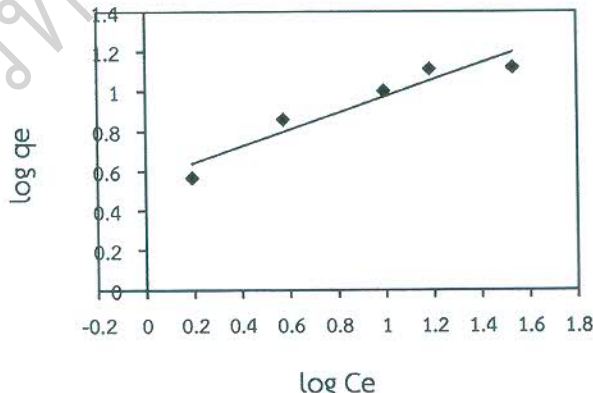
ตารางที่ 4.1 ผลการคำนวณจากไฮโซเทอร์มการดูดซับสีย้อมด้วยเกลบที่อุณหภูมิ 20 องศาเซลเซียส

ความเข้มข้นสารละลายน้ำ (มก./ล.)	Ce (มก./ล.)	qe (มก./ก.)	Ce/qe	log Ce	log qe
20	1.553	3.689	0.421	0.191	0.567
40	3.745	7.251	0.516	0.573	0.860
60	9.854	10.029	0.983	0.994	1.001
80	15.365	12.927	1.189	1.187	1.111
100	34.125	13.175	2.590	1.533	1.120

จากข้อมูลในตารางที่ 4.1 เมื่อนำมาเขียนกราฟแบบสมการเส้นตรง (linear equation) จะได้กราฟเส้นตรงของไฮโซเทอร์มและเมียร์กับฟรุนเดลิชของเกลบ ดังรูป 4.5-4.6



รูปที่ 4.5 ไฮโซเทอร์มการดูดซับและเมียร์ด้วยเกลบ

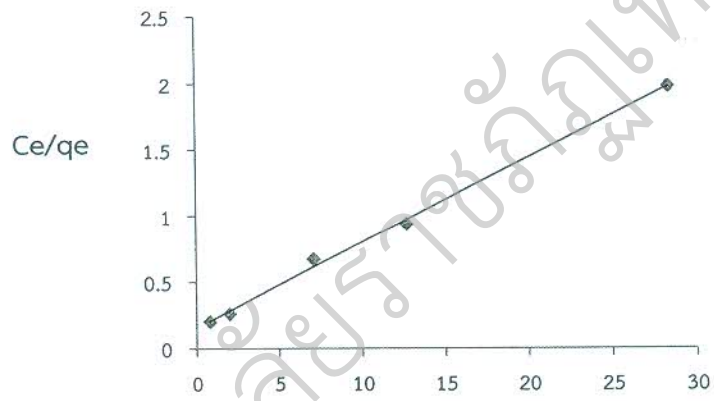


รูปที่ 4.6 ไฮโซเทอร์มการดูดซับฟรุนเดลิชด้วยเกลบ

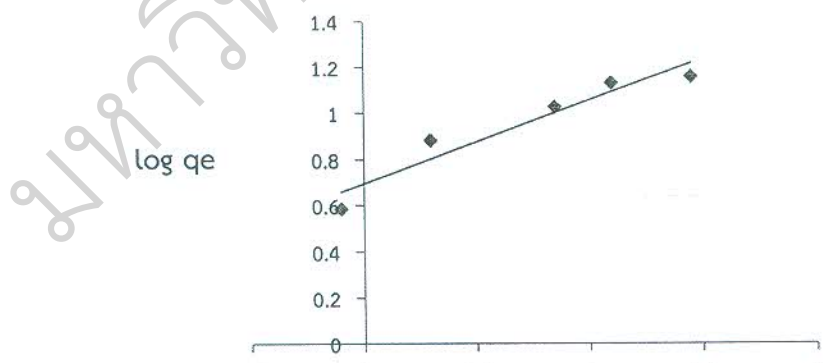
ตารางที่ 4.2 ผลการคำนวณจากไฮโซเทอร์มการดูดซับสีย้อมด้วยแกลบที่อุณหภูมิ 30 องศาเซลเซียส

ความเข้มข้นสารละลายน้ำ (มก./ล.)	Ce (มก./ล.)	qe (มก./ก.)	Ce/qe	log Ce	log qe
20	0.788	3.842	0.205	-0.103	0.585
40	1.986	7.603	0.261	0.298	0.881
60	7.075	10.585	0.668	0.850	1.025
80	12.658	13.468	0.940	1.102	1.129
100	28.365	14.327	1.980	1.453	1.156

จากข้อมูลในตารางที่ 4.2 เมื่อนำมาเขียนกราฟแบบสมการเส้นตรง (linear equation) จะได้กราฟเส้นตรงของไฮโซเทอร์มและเมียร์กับพรุนดลิชของแกลบ ดังรูป 4.7-4.8



รูปที่ 4.7 ไฮโซเทอร์มการดูดซับและเมียร์ด้วยแกลบ

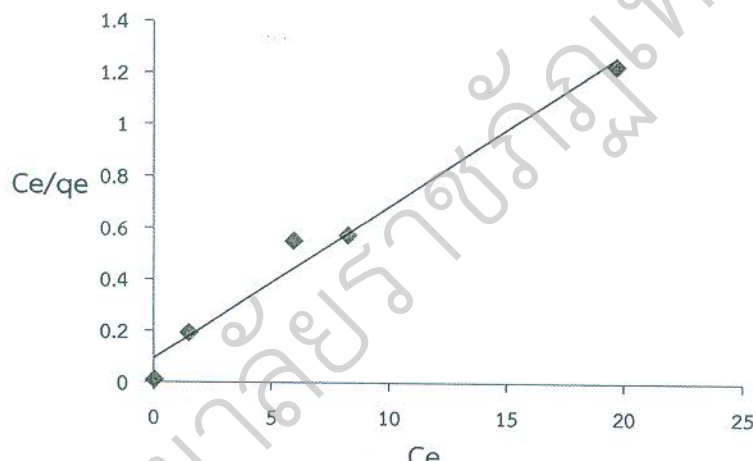


รูปที่ 4.8 ไฮโซเทอร์มการดูดซับพรุนดลิชด้วยแกลบ

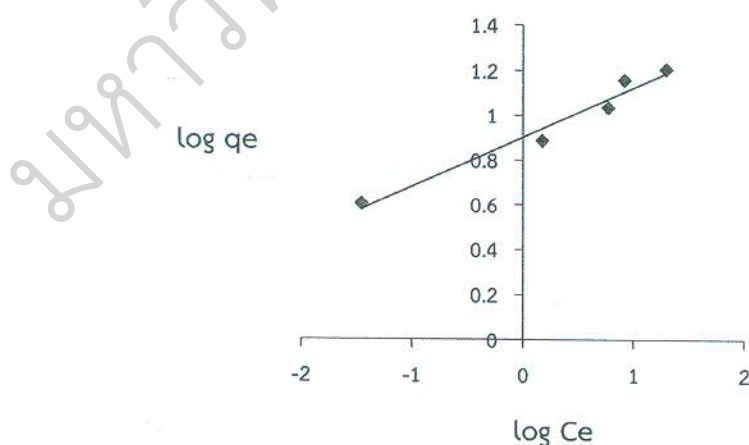
ตารางที่ 4.3 ผลการคำนวณจากไอโซเทอร์มการดูดซับสีย้อมด้วยแกลบที่อุณหภูมิ 40 องศาเซลเซียส

ความเข้มข้นสารละลายน้ำ (mg./l.)	Ce (mg./l.)	qe (mg./g.)	Ce/qe	log Ce	log qe
20	0.035	3.993	0.009	-1.456	0.601
40	1.487	7.703	0.193	0.172	0.887
60	5.958	10.808	0.551	0.775	1.034
80	8.236	14.353	0.574	0.916	1.157
100	19.698	16.060	1.226	1.294	1.206

จากข้อมูลในตารางที่ 4.3 เมื่อนำมาเขียนกราฟแบบสมการเส้นตรง (linear equation) จะได้กราฟเส้นตรงของไอโซเทอร์มแลงเมียร์กับฟรุนดลิชของแกลบ ดังรูป 4.9-4.10



รูปที่ 4.9 ไอโซเทอร์มการดูดซับและเมียร์ด้วยแกลบ



รูปที่ 4.10 ไอโซเทอร์มการดูดซับฟรุนดลิชด้วยแกลบ

จากการวิเคราะห์ผลโดยใช้สมการเส้นตรงໄอโซเทอร์มแลงเมียร์และฟรุนดลิตซ์ในการทำนายผลการทดลองการคัดชับสีข้อมูลด้วยเกลบที่อุณหภูมิ 20 30 และ 40 องศาเซลเซียส จะได้พารามิเตอร์ต่างๆ ดังตารางที่ 4.4

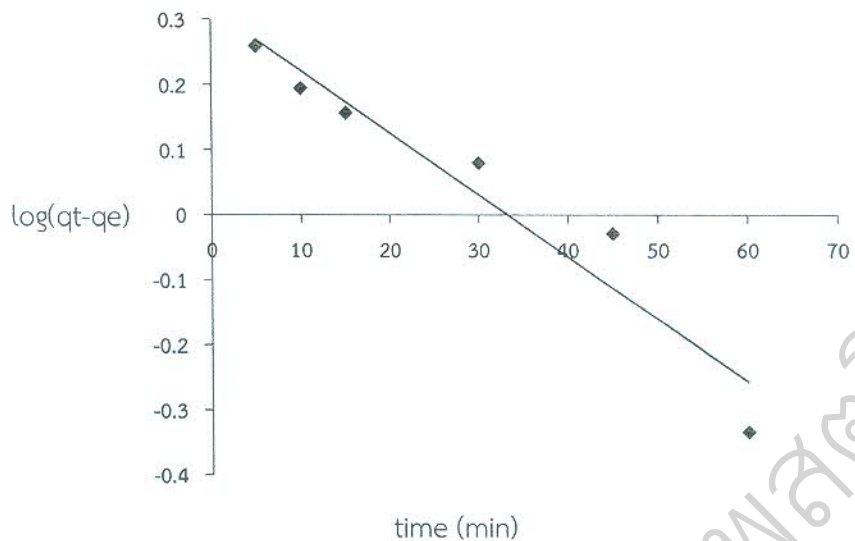
ตารางที่ 4.4 พารามิเตอร์ของไอโซเทอร์มการดูดซับสีัย้อมด้วยแกลบที่อุณหภูมิต่าง ๆ

ไอโซเทอร์มการดูดซับ	อุณหภูมิ (องศาเซลเซียส)		
ไอโซเทอร์มแลงเมียร์	20	30	40
q_{max} (mg/g)	14.9	15.6	16.9
K_L (L/mg)	0.242	0.407	0.649
R_L	0.171-0.040	0.109-0.024	0.072-0.015
R^2	0.994	0.998	0.977
ไอโซเทอร์มฟรุนดลิก			
1/n	0.417	0.359	0.221
K_F (mg/g)	3.62	4.97	7.98
R^2	0.908	0.921	0.967

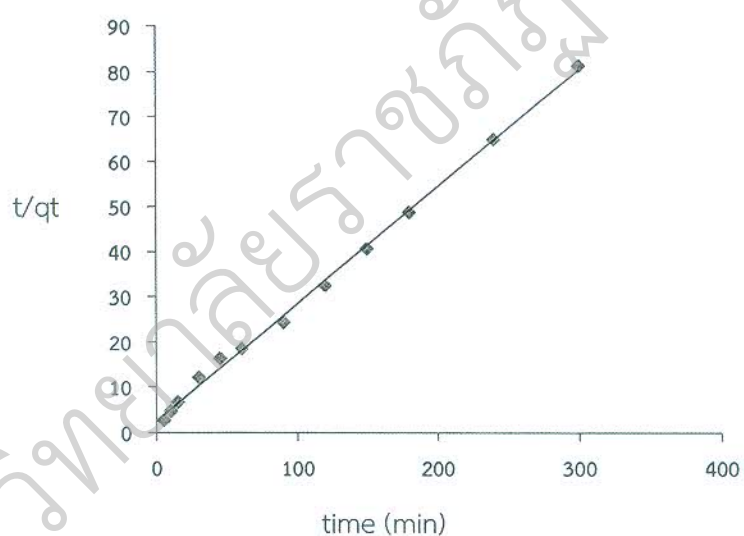
ผลการทดลองการดูดซับสีเย้อมด้วยเกลบในสภาวะสมดุล ณ เวลา 90 นาที ความเข้มข้นสารละลายน้ำสีเย้อม 20-300 มิลลิกรัมต่อลิตร ที่อุณหภูมิ 20 30 และ 40 องศาเซลเซียส เมื่อพิจารณาจากค่าสัมประสิทธิ์สหสัมพัทธ์ (correlation coefficient: R²) ผลการทดลองพบว่าการดูดซับสีเย้อมของเกลบสอดคล้องกับไอโซเทอร์มแรงเมียร์ และฟรุนเดลิช แต่สอดคล้องกับกับไอโซเทอร์มแรงเมียร์มากกว่าทุกอุณหภูมิ (ดังตารางที่ 4.4) โดยมีค่าความสามารถในการดูดซับสูงสุด (maximum adsorption capacity: q_{max}) เท่ากับ 14.9 15.6 และ 16.9 มิลลิกรัมต่อกิโลกรัม ที่อุณหภูมิ 20 30 และ 40 องศาเซลเซียส ตามลำดับ พารามิเตอร์ต่างๆ ของไอโซเทอร์มการดูดซับสีเย้อมด้วยเกลบแสดงดังตารางที่ 4.4

4.5 จันพลศาสตร์การดูดซับ

ศึกษาจนผลศาสตร์การคูดซับสี้อมด้วยแกลบโดยใช้สมการ pseudo-first order และ pseudo-second order ในการทำนายผลการทดลองโดยทำการศึกษาณ เวลาต่าง ๆ 5-300 นาที ความเข้มข้นของสารละลายน 20 มิลลิกรัมต่อลิตร ปริมาตร 100 มิลลิลิตร ปริมาณตัวคูดซับ 0.5 กรัม ที่อุณหภูมิ 20 30 และ 40 องศาเซลเซียส ผลการทดลองเมื่อนำไปเขียนกราฟตามสมการ pseudo-first order และ pseudo-second order ของการคูดซับสี้อมด้วยแกลบ ดังรูปที่ 4.11-4.13 (ก และ ข) และนำผลที่ได้จากสมการทั้งสองไปหาพารามิเตอร์จนผลศาสตร์การคูดซับจะเป็นดังตารางที่ 4.5

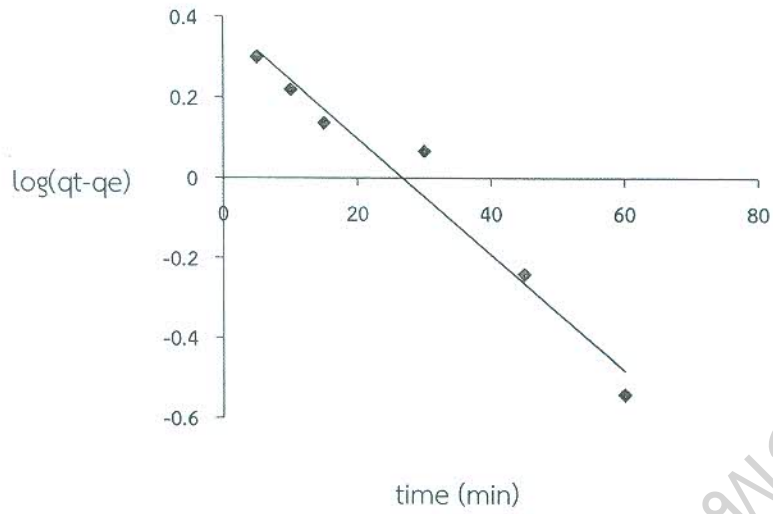


ก. pseudo first order

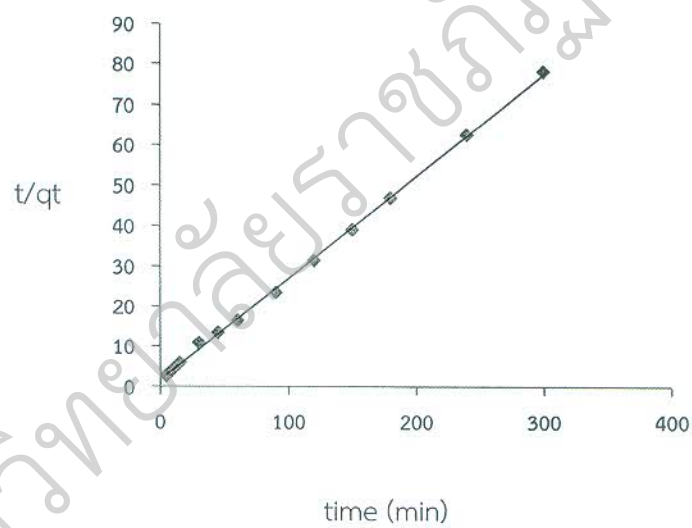


ข. pseudo second order

รูปที่ 4.11 จานพลาสต์ร์การดูดซับสีเย็บแบบ pseudo first และ second order
ด้วยแกลบที่อุณหภูมิ 20 องศาเซลเซียส

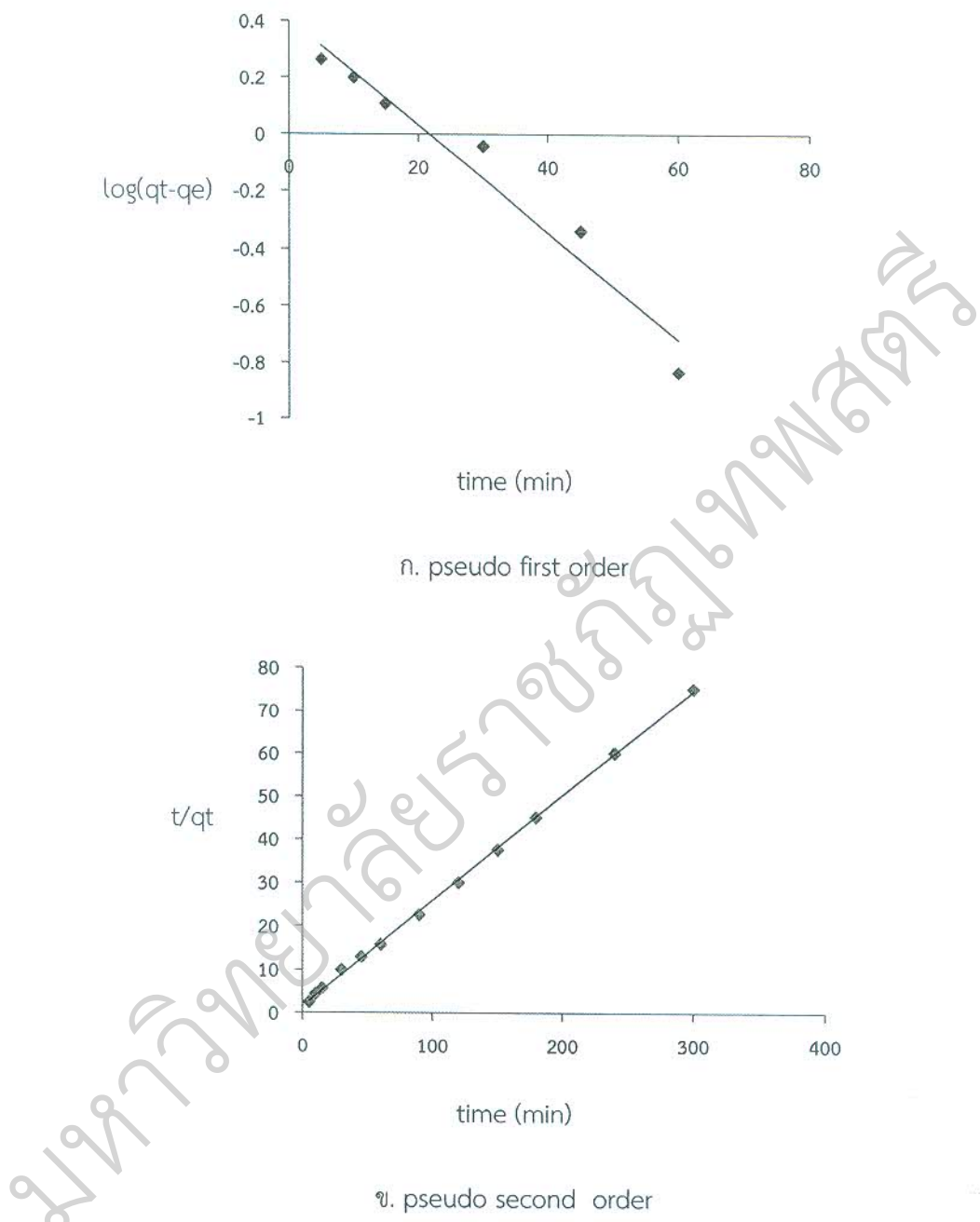


ก. pseudo first order



ก. pseudo second order

รูปที่ 4.12 จานวนผลศาสตร์การดูดซึ�บสีเย้อมแบบ pseudo first และ second order
ด้วยแกลบที่อุณหภูมิ 30 องศาเซลเซียส



รูปที่ 4.13 จานเพลศาร์การดูดซับสีย้อมแบบ pseudo first และ second order
ด้วยแกลบที่อุณหภูมิ 40 องศาเซลเซียส

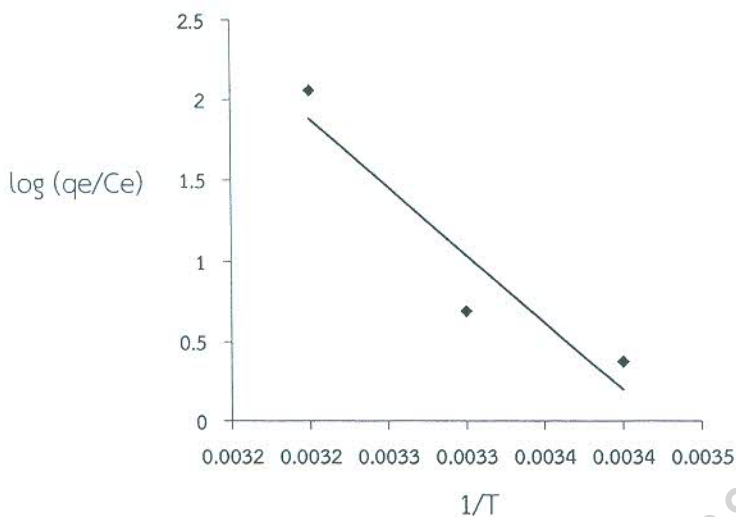
จากการศึกษาจนผลศาสตร์การดูดซับสีเย็บมด้วยแกลบ เมื่อพิจารณาจากค่า correlation coefficient (R^2) ดังตารางที่ 4.5 ผลการทดลองพบว่าข้อมูลการทดลองการดูดซับสามารถอธิบายได้ด้วยจนผลศาสตร์การดูดซับอันดับสองของทั้งสองตัวคูดซับ บ่งบอกว่าการดูดซับที่เกิดขึ้นเป็นการดูดซับแบบเคมี (chemical adsorption) ซึ่งการดูดซับทางเคมีจะเกี่ยวข้องกับการนำอิเล็กตรอนมาใช้ร่วมกัน หรือเกิดการเปลี่ยนของอิเล็กตรอนระหว่างตัวคูดซับและตัวภูกคูดซับ

ตารางที่ 4.5 จนผลศาสตร์และการแพร่ภายนอกการดูดซับสีเย็บมด้วยแกลบ

จนผลศาสตร์การดูดซับ		พารามิเตอร์	
$q_e(\text{exp}) \text{ (mg/g)}$	3.69	3.84	3.99
Pseudo-first order			
$q_e(\text{cal}) \text{ (mg/g)}$	2.70	2.44	2.56
$k_1 \text{ (min}^{-1}\text{)}$	0.222	0.033	0.043
R^2	0.928	0.963	0.955
Pseudo-second order			
$q_e(\text{cal}) \text{ (mg/g)}$	3.85	3.96	4.11
$k_2 \text{ (g.mg}^{-1}.\text{min}^{-1}\text{)}$	0.026	0.037	0.038
R^2	0.998	0.999	0.999
Intraparticle diffusion			
K	0.242	0.268	0.273
C	1.291	1.467	1.552
R^2	0.973	0.977	0.981

4.6 อุณหพลศาสตร์การดูดซับ

ทำการศึกษาอุณหพลศาสตร์การดูดซับ ได้แก่ พลังงานอิสระของการดูดซับ (ΔG) เอนthalpy ของการดูดซับ (ΔH) และเอนโนโทรปีของการดูดซับ (ΔS) ที่ความเข้มข้นสารละลายน้ำ 20 มิลลิกรัมต่อลิตร ปริมาตร 100 มิลลิลิตร ปริมาณตัวคูดซับ 0.5 กรัม ที่อุณหภูมิ 20 30 และ 40 องศาเซลเซียส ผลการทดลองดังรูปที่ 4.14



รูปที่ 4.14 อุณหพลศาสตร์การดูดซับสีย้อมผ้าด้วยแกลบ

จากตารางที่ 4.6 ศึกษาพัฒนาอิสระของการดูดซับสีย้อมผ้าด้วยแกลบ ที่อุณหภูมิ 20–40 องศาเซลเซียส มีค่าเท่ากับ -2.14 , -3.99 และ -12.13 kJ/mol ตามลำดับ พัฒนาอิสระมีค่าเป็นลบบ่งบอกว่าเกิดการดูดซับที่ระหว่างตัวดูดซับและตัวถูกดูดซับ ส่วนค่าเอนthalpieของการดูดซับและเอนโทรピーของการดูดซับ มีค่าเท่ากับ 160.97 kJ/mol และ 0.55 J/mol โดยค่าเอนthalpieของการดูดซับและเอนโทรピーของการดูดซับเป็นบวกบ่งบอกว่ากระบวนการดูดซับเป็นแบบดูดความร้อน (endothermic) ส่วนเอนโทรピーเป็นบวกบ่งบอกว่าเกิดการเพิ่มขึ้นของความไม่ระเบียบในกระบวนการดูดซับบริเวณรอยต่อระหว่างของแข็ง (ตัวดูดซับ) กับของเหลวของสารละลายน้ำ

ตารางที่ 4.6 พารามิเตอร์อุณหพลศาสตร์การดูดซับสีย้อมผ้าด้วยแกลบ

อุณหภูมิ (K)	$-\Delta G (\text{kJ/mol})$	$\Delta H (\text{kJ/mol})$	$\Delta S (\text{J/mol})$
293	2.14	160.97	0.55
303	3.99		
313	12.13		

บทที่ 5
สรุปผลการวิจัยและข้อเสนอแนะ

สรุปผลการวิจัย

ในการศึกษาการดูดซับสีย้อมผ้าด้วยเกลบ สามารถสรุปผลการทดลองได้ดังนี้

1. ประสิทธิภาพการดูดซับสีย้อมผ้าด้วยเกลบ ผลการทดลองสรุปได้ดังนี้

1.1 ผลของเวลาที่เข้าสู่สมดุลที่มีต่อประสิทธิภาพการดูดซับสีย้อมที่เวลาต่าง ๆ คือ 5-300 นาที อุณหภูมิ 20-40 องศาเซลเซียส พบร่วงสมดุลการดูดซับเกิดขึ้นที่เวลา 90 นาที โดยมีค่าความสามารถในการดูดซับเท่ากับ 3.689 3.842 และ 3.911 มิลลิกรัมต่อกิโลกรัม ที่อุณหภูมิ 20 30 และ 40 องศาเซลเซียส ตามลำดับ

1.2 ผลของความเข้มข้นของสารละลายสีย้อมที่ความเข้มข้น 20-100 มิลลิกรัมต่อลิตร ที่อุณหภูมิ 20-40 องศาเซลเซียส พบร่วงการดูดซับสีย้อมด้วยเกลบมีค่าความสามารถในการดูดซับเท่ากับ 3.689-13.175 3.842-14.327 และ 3.993-16.060 มิลลิกรัม ต่อกิโลกรัม ที่อุณหภูมิ 20 30 และ 40 องศาเซลเซียส ตามลำดับ

2. ไอโซเทอร์มการดูดซับการทดลองการดูดซับสีย้อมผ้าด้วยเกลบ สารละลายเข้มข้น 20-100 มิลลิกรัมต่อลิตร ผลการทดลองเมื่อพิจารณาจากค่า correlation coefficient (R^2) พบร่วงการดูดซับสอดคล้องกับไอโซเทอร์ม Langmuir โดยมีค่าความสามารถในการดูดซับสูงสุด (maximum adsorption capacity: q_{max}) เท่ากับ 14.9 15.6 และ 16.9 มิลลิกรัมต่อกิโลกรัม ที่อุณหภูมิ 20 30 และ 40 องศาเซลเซียส ตามลำดับ

3. การศึกษาจำนวนพลาสติร์การดูดซับสีย้อมผ้าด้วยเกลบ พบร่วงผลการทดลองสามารถอธิบายได้ด้วยจำนวนพลาสติร์การดูดซับอันดับสองทุกอุณหภูมิ

4. จากข้อมูลการทดลองสรุปได้ว่าเกลบมีประสิทธิภาพในการกำจัดน้ำทิ้งจากสีย้อมผ้าในอุตสาหกรรมครัวเรือนได้ดี

ข้อเสนอแนะ

1. ควรเพิ่มประสิทธิภาพของตัวดูดซับ เช่น การปรับเปลี่ยนผิวตัวดูดซับ
2. ควรศึกษาวัสดุเหลือทิ้งตัวอื่น ๆ เช่น ชานอ้อย และขุยมะพร้าว

เอกสารอ้างอิง

- นครินทร์ แพรชาญ. (2549). การกำจัดสีเย้อมผ้าจากน้ำล้างสีเย้อมผ้าโดยการใช้แกลบที่ปรับสภาพด้วยวิธีทางเคมี. วิทยานิพนธ์ปริญญาวิศวกรรมศาสตรมหาบัณฑิต สาขาวิชวิศวกรรมเคมี คณะวิศวกรรมศาสตร์ มหาวิทยาลัยเทคโนโลยีพระจอมเกล้าธนบุรี ศรีประภา กล่าวมี ณ อยุธยา, ไฟทิพย์ ธีรวเชฐณ, วนันต์ นาคบรรพต และภาณี ชัยประเสริฐ.
- (2545). การกำจัดสีเมห์ลคอมเพล็กซ์จากน้ำเสียฟอกย้อมสังเคราะห์โดยแกลบ การประชุมวิชาการวิทยาศาสตร์และเทคโนโลยีแห่งประเทศไทย ครั้งที่ 28, 24-26 ตุลาคม, ศูนย์การประชุมแห่งชาติสิริกิติ์, กรุงเทพฯ, 2545 : 677.
- Han, R., Wang, Y., Yu, W., Zou, W., Shi, J. and Liu, H. (2007). Biosorption of methylene blue from aqueous solution by rice husk in a fixed-bed column. "Journal of Hazardous Materials" 141: 713–718.
- Han, R., Ding, D., Xu, Y., Zou, W., Wang, Y., Li, Y., and Zou, Y. (2008). Use of rice husk for the adsorption of congo red from aqueous solution in column mode. "Bioresource Technology" 99: 2938–2946.
- Mahvi, A. H., Maleki, A. และ Eslami, A. (2004). Potential of Rice Husk and Rice Husk Ash for Phenol Removal in Aqueous Systems. "American Journal of Applied Sciences." 1 (4): 321-326.
- Di Blasi, C., Buonanno, F. and Branca, C. (1999). Reactivities of some biomass chars in air. Carbon. 37 (8): 1227-1238.
- Prasara-A, J. (2010). Life Cycle Assessment in Policy Context: the Case of Rice Husk Applications in Thailand. VDM Verlag Dr. Müller.
- Wannapeera, J., Worasuwannarak, N and Pipatmanomai, S. (2008). Product yields and characteristics of rice husk, rice straw and corncob during fast pyrolysis in a drop-tube/fixed-bed reactor. Songklanakarin J. Sci. Techno.l. 30 (3): 393-404.
- Jacobsen, S.E. and Wyman, C.E. (2000). Cellulose and hemicellulose hydrolysis models for application to current and novel pretreatment processes. Appl Biochem Biotechnol. 81-96.
- Shukla, A., Y. Zhang, P. Dubey, J.L. Margrave and S.S. Shukla. (2002). The role of sawdust in the removal of unwanted materials from water. J. Hazard. Mater. 95 : 137-152.

ภาคผนวก

ภาคผนวก ก

การดูดซับสีย้อมผ้าด้วยแกลบ

ตารางที่ ก.1 ผลของเวลาในการดูดซับสีย้อมผ้าด้วยแกลบ

เวลา (นาที)	อุณหภูมิ (องศาเซลเซียส)		
	20	30	40
5	1.875	1.957	2.114
10	2.125	2.287	2.358
15	2.254	2.575	2.665
30	2.487	2.977	3.036
45	2.754	3.369	3.332
60	3.225	3.654	3.785
90	3.689	3.842	3.993
120	3.689	3.842	3.993
150	3.689	3.842	3.993
180	3.689	3.842	3.993
240	3.689	3.842	3.993
300	3.689	3.842	3.993

ตารางที่ ก.2 ผลของความเข้มข้นของสีย้อมผ้าในการดูดซับด้วยแกลบ

ความเข้มข้นของสีย้อมผ้า (มิลลิกรัมต่อลิตร)	อุณหภูมิ (องศาเซลเซียส)		
	20	30	40
20	3.689	3.842	3.993
40	7.251	7.603	7.703
60	10.029	10.585	10.808
80	12.927	13.468	14.353
100	13.175	14.327	16.060